

شرح نگاری خودکار تصویر با روش چرخش بلاک اصلی

حازم الرکابی، نسرین صوفی، هادی صدوقی یزدی و امیرحسین طاهری‌نیا

سطح پایین استفاده می‌شوند که از جمله آنها می‌توان به ویژگی‌های رنگ و بافت اشاره کرد. نتیجه جستجو به بهترین تاظر ممکن بین بردار ویژگی‌های استخراج شده و بردار ویژگی تصویر پرس‌وجو بستگی دارد. تنها مشکل روش‌های زیرمجموعه این دسته این است که کاربران علاقه‌ای به ویژگی‌های سطح پایین ندارند و نمی‌توانند تصاویر را بر اساس این ویژگی‌ها تفسیر کنند. آنها ترجیح می‌دهند با زبان‌های طبیعی به تفسیر تصاویر پردازنند. در دسته‌بندی و بازیابی تصاویر، تصاویر یک استفاده از ویژگی‌های سطح پایین نمایش داده می‌شوند، زیرا تصویر یک آرایه بدون ساختار از پیکسل‌ها است. اولین گام از ادراک معنایی استخراج روش‌های بصری مؤثر و کارا از همین پیکسل‌ها است. هدف اصلی روش‌های شرح‌نگاری تصاویر این است که به طور خودکار به هر تصویر آزمون چندین کلید واژه مرتبط نسبت دهد که این کلیدواژه‌ها بازتاب‌دهنده محتویات بصری آن تصویر هستند. یکی از رویکردهای بازیابی تصاویر مبتنی بر متن این است که در آن تصاویر به صورت دستی و به کمک انسان شرح‌نگاری می‌شوند و سپس این تصاویر مانند اسناد رسمی مورد بازیابی قرار می‌گیرند که البته به دلیل حجم گستره تصاویر این کار غیر قابل انجام است و همچنین نظر افراد در شرح‌نگاری مؤثر خواهد بود. ایده اصلی شرح‌نگاری خودکار تصویر^(۱) (AIA) روش‌هایی است که مدل‌های معنایی و مفهومی را با استفاده از مجموعه تصاویر نمونه بسیار زیاد به صورت خودکار یاد می‌گیرند و از این مدل‌های مفهومی برای برچسب‌زنی به تصاویر جدید و آزمون استفاده می‌کنند. هر تصویر دارای مفهومی است که این مفهوم از کنار هم قرار گرفتن ویژگی‌های تصویر به دست آمده و از آنجایی که اغلب اطلاعاتی که در شرح‌نگاری تصویر باید تحلیل گردد، غیر منفی هستند (مانند پیکسل‌های تصویر) و نیز به علت این که اطلاعات کاهش سطح یافته‌اند، نیاز بیشتری به دربرداشتن مقادیر غیر منفی دارند تا بتوانند با اطلاعات فیزیکی و واقعی تطابق داشته باشند. در این مقاله از روشی مرسوم به تجزیه نامنفی ماتریس^(۲) (NMF) که تقریب ماتریس داده‌ها با مقادیر نامنفی است، استفاده شده و در روش پیشنهادی از روشی به نام چرخش بلاک اصلی^(۳) [۱] برای حل NMF بهره گرفته شده است.

۱-۱ انگیزه

هدف اصلی این مقاله افزایش دقت و سرعت فرایند شرح‌نگاری خودکار تصاویر با به کارگیری الگوریتم NMF و استفاده از روش چرخش بلاک اصلی برای حل آن است. از جمله ویژگی‌های این سیستم، توانایی افزودن برخط کلاس جدیدی از داده‌ها به داشن خود است. علاوه بر این یادگیری داشن به صورت فشرده انجام می‌شود و توانایی آموزش بر اساس داده‌های دریافتی بدون نیاز به پردازش مجدد داده‌های قبلی، از جمله دیگر ویژگی‌های آن است. در این سیستم با ورود کلاسی از داده‌ها به

2. Auto Image Annotation

3. Non-Negative Matrix Factorisation

4. Block Principal Pivoting

چکیده: سیستم‌های شرح‌نگاری خودکار تصاویر، ظرفیه توصیف محتوای تصاویر به سیله تخصیص برچسب به آنها را بر عهده دارند. هدف از انجام این تحقیق بهبود نتایج دقت و سرعت یک سیستم شرح‌نگار تصاویر است. اخیراً با توجه به رشد روزافزون تصاویر، فرایند شرح‌نگاری بر روی پایه‌های تصاویر به جای خودشان اجرا می‌گردد. یکی از این روش‌های جدید، بیادسازی الگوریتم تجزیه نامنفی ماتریس (NMF) بر روی ویژگی‌های به دست آمده از تصاویر است. در روش پیشنهادی برای افزایش سرعت و کارایی بهتر سیستم شرح‌نگاری، برای اولین بار از روشی به نام چرخش بلاک اصلی برای حل NMF در شرح‌نگاری استفاده شده است. این روش با توانایی افزودن برخط کلاس جدیدی از داده‌ها به داشن خود و یادگیری داشن به صورت فشرده و علاوه بر آن، توانایی آموزش بر اساس داده‌های دریافتی بدون نیاز به پردازش مجدد توانسته از روش‌های پیشین ارائه شده برای حل NMF عملکرد بهتری را نشان دهد. در مرحله آموزش با روش چرخش بلاک اصلی ماتریس ضرایب و پایه تصاویر ضریب تعامل تصویر آزمون به هر یک از کلاس‌های تصاویر آموزش محاسبه می‌گردد. سپس این ضریب در هنگام جستجو در میان تصاویر آموزش برای تخصیص برچسب به تصویر آزمون، دقت کار را افزایش می‌دهد. این جستجو توسط روش KNN بر روی پایه‌های تصاویر صورت می‌گیرد. برای آزمایش روش پیشنهادی از دو پایگاه داده Corel5K و داده‌های واقعی حیوانات (برگرفته از ۵۰۰ px) استفاده شده و نهایتاً با روش‌های موجود مقایسه شده که در پایگاه داده Corel5K به میزان دقت ۶۲/۸۹٪ و روی داده‌های واقعی به ۵۰/۲۰٪ رسیدیم که به طور قابل ملاحظه‌ای دقت افزایش یافته است.

کلیدواژه: تجزیه نامنفی ماتریس، چرخش بلاک اصلی، k-نزدیکترین همسایه، شرح‌نگاری تصاویر.

۱- مقدمه

شرح‌نگاری خودکار تصاویر مسئله‌ای مهم در بسیاری از کاربردهای مختلف مانند بازیابی تصاویر بر اساس محتوا^(۴) (CBIR) و یا ادراک تصاویر است. در واقع بازیابی تصاویر بر اساس محتوا زیرمجموعه‌ای از مبحث بازیابی تصاویر می‌باشد که تمرکز آن بر روی محتوای تصویر برای جستجوی موضوع یا هدفی خاص است. در CBIR ویژگی‌های محتویات

این مقاله در تاریخ ۸ اردیبهشت ماه ۱۳۹۷ دریافت و در تاریخ ۲۲ آبان ماه ۱۳۹۷ بازنگری شد.

حازم الرکابی، گروه کامپیوتر، دانشگاه فردوسی مشهد، مشهد، ایران، (email: hazim.al-rikabi@mail.um.ac.ir)

نسرين صوفی، گروه کامپیوتر، دانشگاه فردوسی مشهد، مشهد، ایران، (email: soufi.nasrin@mail.um.ac.ir)

هادی صدوقی یزدی (نویسنده مسئول)، گروه کامپیوتر، دانشگاه فردوسی مشهد، مشهد، ایران، (email: h-sadoghi@um.ac.ir)

امیرحسین طاهری‌نیا، گروه کامپیوتر، دانشگاه فردوسی مشهد، مشهد، ایران، (email: tahirinia@um.ac.ir)

1. Content-Based Image Retrieval

روی محتوای تصویر انجام نمی‌گیرد بلکه متنی که همراه تصویر وجود دارد تحلیل و پردازش می‌شود. این متن ممکن است مستنداتی همراه تصویر یا محتوای صفحه وبی باشد که تصویر در آن وجود دارد.

۱-۲-۱-۲ روش‌های شرح‌نگاری خودکار مبتنی بر تصویر

یکی دیگر از روش‌های شرح‌نگاری خودکار تصاویر، روش مبتنی بر تصویر است. این روش نیازمند داشتن متن مرتبط با تصویر نیست. اساس کار در اینجا بر پردازش تصویر و استنتاج مفاهیم هر تصویر از خود تصویر است. هدف این است که با استفاده از ویژگی‌های سطح پایین مستخرج از تصویر بتوان ویژگی‌های سطح بالای آن را به دست آورد. منظور از ویژگی‌های سطح پایین تصویر ویژگی‌هایی مانند رنگ، بافت، شکل و غیره است در حالی که ویژگی‌های سطح بالا گویای مفاهیم و کلمات قابل برداشت از تصویر می‌باشد. یکی از چالش‌های مهم در این زمینه فاصله‌ای است که بین این دو دسته ویژگی وجود دارد و به شکاف معنایی معروف است، لذا به منظور شرح‌نگاری با استفاده از این روش باید شکاف معنایی را از بین برد. در واقع باید نگاشتی بین ویژگی‌های سطح پایین و کلمات پیدا کرد و برای تولید این نگاشت از روش‌های یادگیری ماشین استفاده می‌شود. در واقع شرح‌نگاری تصاویر به نوعی به دسته‌بندی تصاویر تبدیل می‌شود که هر دسته بیانگر کلمه یا عبارتی در مورد تصویر است [۲]. فرایند دسته‌بندی و یادگیری نیازمند مجموعه‌ای از تصاویر مختلف حاشیه‌دار است. این مجموعه، مجموعه آموزش نامیده می‌شود. فرایند تولید سیستم شرح‌نگاری شامل انتخاب مجموعه آموزش، استخراج ویژگی‌ها از تصاویر و تولید نگاشت یا مدل بین ویژگی‌های سطح پایین و سطح بالای تصاویر با استفاده از الگوریتم‌های یادگیری ماشین است. بلوک دیاگرام کلی سیستم شرح‌نگاری در شکل ۱ آمده است.

۱-۲-۱-۳ انواع رویکردهای در طراحی سیستم شرح‌نگاری تصویر

رویکردهای استفاده شده برای طراحی سیستم‌های شرح‌نگاری خودکار می‌تواند به سه گروه تقسیم‌بندی شوند. اولین گروه مدل‌های مولد هستند که تصاویر را به عنوان نمونه در نظر می‌گیرند که از یک توزیع آماری خاص نمونه‌برداری شده‌اند و پارامترهای توزیع مجموعه داده‌های آموزشی تخمین زده می‌شود. مدل‌های ترکیبی مثل^۱ GMM [۳] و مدل‌های عناوین^۲ مانند تخصیص دیریکله پنهان^۳، تجزیه و تحلیل معنایی پنهان، تجزیه و تحلیل معنایی پنهان اختلالاتی [۴] و NMF^۵ دو مدل‌های مولد هستند. مطالعه برجسته این گروه روش NMF-KNN^۶ است. این یک مدل مولد مبتنی بر جستجو است که یک مدل برتر برای هر تصویر را یاد می‌گیرد. ساخت یک مدل جداگانه برای هر تصویر آزمون، عملکرد را به طور قابل ملاحظه‌ای افزایش می‌دهد اما ساخت مدل نیاز به محاسبات زیادی دارد مخصوصاً وقتی تعداد زیادی تصویر آزمون داشته باشیم. گروه دوم مدل‌های جداساز نامیده می‌شوند که طبقه‌بندی جدا روى هر برچسب ایجاد می‌کند. هر تصویر به همه طبقه‌بندها اعمال می‌شود تا تعیین کند به کدام کلاس تعلق دارد. از جمله طبقه‌بندهایی که به این نظور استفاده شده‌اند می‌توان به^۴ SVM، یادگیری نمونه چندگانه^۵ و شبکه‌های عصبی^۶ اشاره کرد. یکی از بهترین کارهای این

1. Gaussian Mixture Models
2. Topic Models
3. Latent Dirichlet Allocation
4. Support Vector Machine
5. Multiple Instance Learning
6. Neural Network

توانایی شرح‌نگاری تصویر اضافه می‌شود و نوع عملکرد این سیستم‌های جستجوگر بر اساس نحوه عملکرد کاربران مهیا شده است. به طور مثال، کاربر با جستجوی موضوعی دلخواه تمام تصاویر شامل این برچسب را دریافت می‌کند که البته ممکن است برچسب‌های دیگری نیز داشته باشد. همچنین این امکان فراهم است که هزاران تصویر با برچسب به مجموعه داده اضافه گردد. علاوه بر آن با به کارگیری روش چرشش بلاک اصلی برای حل NMF، موجب رفع محدودیت روش مبتنی بر مجموعه فعال شده و باعث افزایش سرعت حل مسئله می‌گردد.

در ادامه مقاله موری بر کارهای صورت‌گرفته در حوزه مسئله شرح‌نگاری خواهیم داشت. در بخش سه به تشریح هر یک از اجزای سیستم شرح‌نگاری و معرفی ایده روش پیشنهادی در همان بخش می‌پردازیم. در بخش چهار نتایج آن را با سایر روش‌ها مقایسه و نهایتاً جمع‌بندی و نتیجه‌گیری خواهیم نمود.

۱-۱ موری بر کارهای گذشته

این بخش برای درک بهتر سیستم شرح‌نگاری به توضیح و بررسی روش‌های شرح‌نگاری، انواع رویکردها در طراحی سیستم شرح‌نگاری تصاویر و بررسی سیستم‌های مبتنی بر NMF می‌پردازد.

۱-۲-۱-۱ روش‌های شرح‌نگاری تصاویر

به طور کلی شرح‌نگاری تصاویر به صورت دستی، خودکار و نیمه‌خودکار انجام می‌شود.

۱-۲-۱-۲ روش دستی

در این روش شرح‌نگاری تصاویر را انسان انجام می‌دهد. مهم‌ترین ویژگی این روش دقت آن است زیرا کلمات حاشیه توسط انسان تولید شده و لذا هوشمندانه و نزدیک به برداشتی است که از تصاویر استنتاج می‌شود. از آنجا که در بیشتر مواقع با مجموعه‌های بزرگی از تصاویر مواجه هستیم لذا توصیف و شرح‌نگاری هر تصویر به صورت دستی زمان‌بر و پرهزینه است. از طرفی کلمات به کار برده شده کاملاً تحت تأثیر شخصیت، روحیات، سطح علمی و دید فرد نسبت به مسائل مختلف است. این مسئله ممکن است منجر به تولید کلمات متفاوت برای تصاویر مشابه شود، تهها به این دلیل که توسط افراد متفاوت و یا یک فرد در موقعیت‌های متفاوت شرح‌نگاری شده باشند.

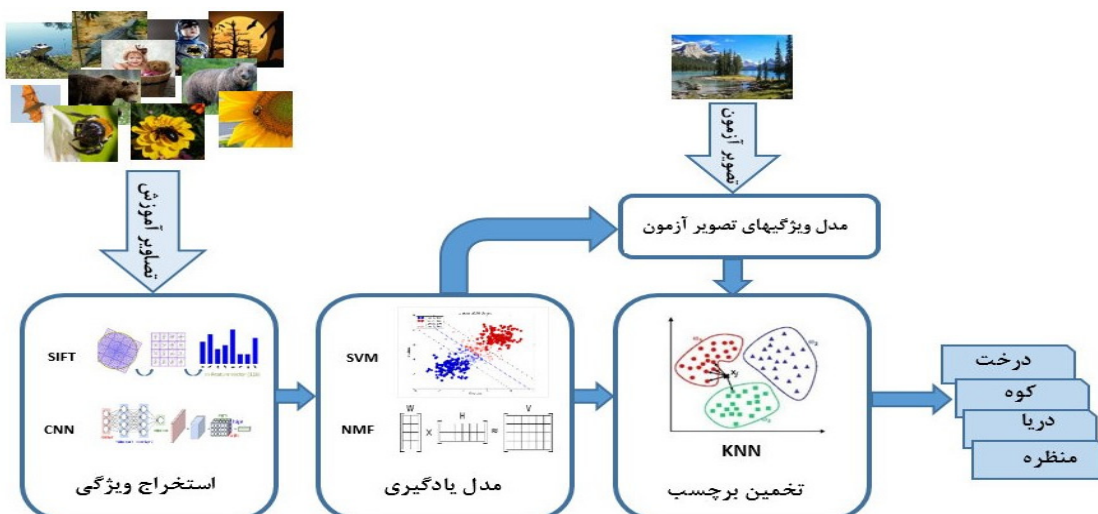
۱-۲-۱-۳ روش‌های خودکار / نیمه‌خودکار

در روش خودکار سعی بر این است تا فرایند شرح‌نگاری تصاویر به طور کامل توسط ماشین انجام شود. دقت این گونه روش‌ها کمتر از دیگر روش‌های است در حالی که در روش‌های نیمه‌خودکار کاربران در مورد حاشیه‌های تصویر تصمیم‌گیری می‌کنند و معمولاً رابط کاربری هوشمندی تولید می‌شود که اجرای عملیات به صورت دستی را کم می‌کند.

بعضی سیستم‌های خودکار یا نیمه‌خودکار قدرت یادگیری را از آنچه کاربران وارد می‌کنند نیز دارند تا در مورد تصاویر جدید حاشیه‌های دقیق‌تری تولید کنند. به طور کلی روش‌های خودکار شرح‌نگاری تصاویر به دو دسته کلی تقسیم می‌شوند: روش‌های مبتنی بر متن و روش‌های مبتنی بر تصویر.

۱-۲-۱-۴ روش‌های شرح‌نگاری خودکار مبتنی بر متن

این روش‌ها تنها زمانی کاربرد دارند که در مورد هر تصویر اطلاعات متنی نیز وجود داشته باشد. در این حالت فرایند شرح‌نگاری شامل استخراج مفاهیم از متن مرتبط با تصویر خواهد بود و هیچ گونه پردازشی



شکل ۱: بلوک دیاگرام کلی سیستم‌های شرح‌نگاری خودکار تصاویر. ابتدا ویژگی‌های اولیه و متنوعی از تصاویر به نمایندگی از محتوای آنها استخراج می‌گردد. سپس رابطه بین این ویژگی‌ها و برچسب‌های درون مجموعه تصاویر آموزش، توسط یک سیستم یادگیر فراگرفته می‌شود. سرانجام در مرحله آزمون، برچسب‌هایی که محتوای تصویر مورد سؤال را توصیف می‌کنند، تخمین زده می‌شوند.

نمونه داده متضاد را تخمین می‌زند. در حقيقةت U فضای جدیدی می‌سازد و V نمایش داده در این فضا را نشان می‌دهد. با استفاده از چارچوب NMF در سیستم‌های شرح‌نگاری خودکار، عامل‌های پنهان اساسی از یک مجموعه داده استخراج می‌گردد، فضای پنهان مبتنی بر این عامل‌ها (بردارهای پایه U) ساخته می‌شود و نمایش تصاویر با استفاده از محاسبه عامل‌های موجود برای هر تصویر (ماتریس ضرایب V) به دست می‌آید.

یکی از توسعه‌های NMF، NMF چنددیده^۳ است که از ماتریس‌های داده چندگانه استفاده می‌کند. هر ستون از این ماتریس‌ها، داده یکسانی را با زاویه دید متفاوتی توصیف می‌کند. استراتژی دیگر، تجزیه یک دیدگاه و استفاده از ماتریس ضرایب آن برای پیدا کردن ماتریس پایه دیدگاه‌های دیگر است. در حقیقت در این روش‌ها فضای پنهان بر پایه اولین دیدگاه استخراج می‌شود و سایر دیدگاه‌ها نقش قابل توجهی در این پروسه ندارند. ثابت شده که تجزیه NMF منحصر به فرد نیست و ممکن است عامل‌های پنهان نامحدودی برای هر ماتریس پیدا شود. علاوه بر این، همه دیدگاه‌ها تصاویر یکسانی را نشان می‌دهند، بنابراین انتظار می‌رود که تقریباً مفاهیم پنهان در همه دیدگاه‌ها در نظر گرفته شود. آخرین مطالعات در مورد NMF چنددیده از این واقیت‌ها استفاده کرده‌اند و سعی کرده‌اند به طور همزمان همه دیدگاه‌ها را تجزیه کنند به طوری که یک ترم تعمیم‌کننده درتابع وجود دارد تا ماتریس ضرایب بین همه دیدگاه‌ها به اشتراک گذاشته شود. این تجزیه می‌تواند با قید نرم (ماتریس ضرایب باید شبیه باشد) یا سخت (ماتریس ضرایب باید یکسان باشد) انجام شود. در [۹] NMF مشترکی با قید سخت برای طبقه‌بندی چند کلاسه فعالیت انسان با یکی کردن دیدگاه‌های تصاویر مختلف ارائه شده است.

در [۱۰] NMF چنددیده با قید نرم برای مسئله خوشبندی ارائه شده است که یک ساختار پنهان سازگار برای همه دیدگاه‌ها استخراج می‌کند. NMF-KNN از توسعه وزنی [۱۰] برای یک مدل مولد پرس‌وجو استفاده می‌کند به این صورت که یک مدل منحصر به فرد را برای هر تصویر آزمون یاد می‌گیرد که مبتنی بر نزدیکترین همسایه‌های است. و یک قید اجماع برای ویژگی‌های متفاوت استخراج شده از آن تصویر آزمون اعمال

گروه KSVM-VT است. در [۶] یک روش ترکیبی طراحی شده که PLSA را به عنوان مرحله یادگیری مولد و مجموعه‌ای از طبقه‌بندی‌های SVM را برای طبقه‌بندی داده‌های چندبرچسبی به عنوان مرحله یادگیری جداساز استفاده می‌کند. گروه سوم روش‌های جستجوی بر جست و جو است که ساده و قدرتمند هستند. این روش‌ها شباهت تصاویر جستجوی آموزشی به تصویر آزمون را بر مبنای سنجش شباهت بصری جستجوی کند و برچسب‌های تصاویر آموزشی را به تصویر آزمون منتقل می‌کند. در حقیقت برای این گروه مرحله مدل‌سازی سیستم شرح‌نگاری خودکار، کوتاه است و تمرکز اصلی روی مرحله پیش‌بینی است که روش‌های یادگیری محلی از قبیل KNN به این گروه مربوط می‌شوند. استفاده از یادگیری متربک در کنار روش‌های مبتنی بر جستجوی پیشرفته قابل توجهی داشته است. TagProb [۷] یکی از مطالعات مهم در این گروه است زیرا از مجموعه گستره‌های از ویژگی‌ها استفاده می‌کند و یادگیری متربک آن رویکردی مبتنی بر KNN است. این روش نتایج را با در نظر گرفتن برچسب‌های کمیاب بهبود می‌دهد. مجموعه ویژگی استفاده شده در TagProb در اغلب روش‌های سیستم شرح‌نگاری خودکار استفاده شده است.

۱-۲-۳ بررسی سیستم‌های مبتنی بر NMF

آقای لی و سونگ [۸] روش NMF را ارائه کرند که به طور گستردۀ در زمینه‌های مختلفی از قبیل جدایی منبع کور^۴، طبقه‌بندی، تشخیص نفوذ^۵، شناسایی فعالیت‌ها، پردازش ویدئو، پردازش تصویر و بینایی کامپیوتر در طول دهه‌ها استفاده شده است. ماتریس نامنفی $X \in R^{n \times m}$ داده شده است. NMF با تقسیم داده‌ها به مجموعه‌ای از ماتریس‌های نامنفی $U \in R^{n \times k}$ (ماتریس پایه) و $V \in R^{m \times k}$ (ماتریس ضرایب یا نمایش)، یک فضای پنهان را آشکار می‌کند، بنابراین UV^T می‌تواند را تخمین بزند. این امر با روش کمینه‌سازی تابع هدف زیر اتفاق می‌افتد

$$f = \min_{U,V} \|X - UV^T\|_F \text{ s.t } U, V \geq 0 \quad (1)$$

اگر هر ستون X یک نمونه تصویر را نشان دهد، ستون‌های ماتریس U بردارهای پایه فضای جدید و سطرهای V ضرایب هر بردار پایه

1. Blind Source Separation

2. Intrusion Detection

این نمایش‌ها با استفاده از روش NMF تجزیه می‌گردد و فضاهای پنهان چندگانه پیدا شده که بردارهای پایه این فضاهای یکسان نمایش داده می‌شود اما لزوماً محتوای یکسانی ندارند. این بدين معنی است که وقتی تصویری به این فضاهای نگاشت داده شود نمایش آن در تمام فضاهای شبیه هم است. در [۱۳] فرایند تجزیه به دو روش متفاوت طراحی شده است. یک روش MvNMF-SK نامیده می‌شود که تجزیه‌ای همزمان با تعداد یکسانی از پایه، روی همه نمایش‌ها انجام می‌دهد و روش دیگر MvNMF-DK است که تجزیه‌ای جدا برای هر نمایش با تعداد متفاوت از بردارهای پایه انجام می‌دهد.

۲- سیستم پیشنهادی

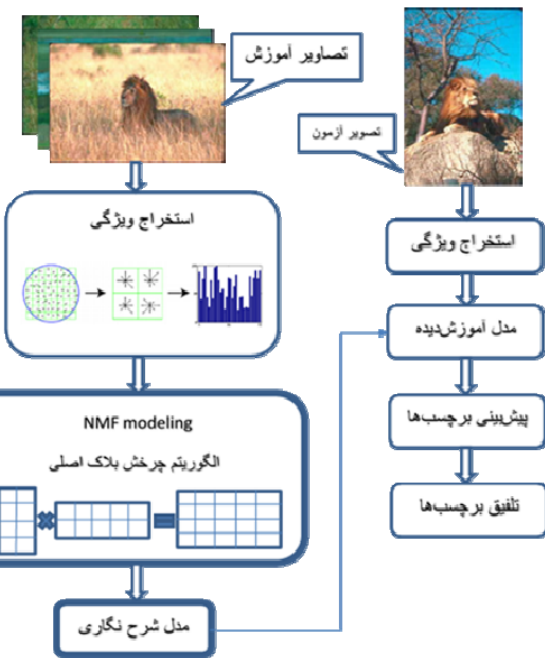
در شکل ۲ نحوه عملکرد سیستم پیشنهادی برای شرح‌نگاری تصاویر نشان داده شده است. بلوک‌های پرنگ شکل ۲، قسمت‌هایی را نشان می‌دهند که در این مقاله اصلاحات لازم در آنها صورت گرفته است. در این سیستم دو مرحله اساسی وجود دارد. در مرحله اول که مرحله آموزش نام دارد باید داده‌ها به عنوان ورودی به سیستم داده شوند. به دلیل حجم بالای تصاویر مورد استفاده که باعث کاهش سرعت پردازش می‌شوند، ویژگی‌های تصاویر استخراج می‌شوند. سپس وارد قسمت اصلی مرحله آموزش یعنی الگوریتم یادگیری ماشین می‌شویم. این قسمت ویژگی‌های تصاویر را به عنوان ورودی دریافت می‌کند. الگوریتمی که در این مرحله استفاده شده است روش تجزیه نامنفی ماتریس (NMF) و الگوریتم موردن استفاده برای حل NMF روش چرخش بلاک اصلی در چارچوب^۴ ANLS است. در این فضا شباهت بین تصاویر با استفاده از ضرایب ماتریس NMF محاسبه می‌شود. لذا خروجی این الگوریتم، ماتریس ضرایب (H) و ماتریس پایه‌ها (W) است که در مرحله آزمون مورد استفاده قرار می‌گیرند. سپس وارد مرحله دوم یعنی مرحله آزمون می‌شویم. برای شروع مرحله آزمون یک تصویر به عنوان ورودی خوانده می‌شود و پس از استخراج ویژگی‌های آن، الگوریتم KNN اجرا می‌گردد تا نزدیک‌ترین کلاس‌ها به تصویر آزمون یافته شود. با پیدا شدن کلاس‌های مشابه، حال باید ویژگی‌های استخراج شده از تصویر و ماتریس ضرایب کلاس‌های مشابه به دست آمده از مرحله آموزش را به مسأله زیر بدھیم تا بردار ضرایب به دست آید

$$f = \min_{H_{test}} \|A_{test} - W \times H_{test}\|_F^2 \quad (2)$$

و این مسأله به صورت زیر حل می‌شود

$$\frac{\partial f}{\partial H_{test}} = 0 \Rightarrow H_{test} = (\text{inv}(W^T \times W)) \times (W^T \times A_{test}) \quad (3)$$

منظور از inv معکوس یک ماتریس است. در گام بعدی برای به دست آوردن نزدیک‌ترین تصاویر به تصویر آزمون (منظور از A_{test} ارائه بصیری تصویر آزمون است که بر مبنای ویژگی‌های استخراج شده از آن می‌باشد) باید بردار ضرایب (H_{test}) به دست آمده و ماتریس ضرایب آموزش داده شده را بار دیگر به الگوریتم KNN بدھیم. در این مرحله برچسب‌هایی برای تصویر آزمون پیش‌بینی می‌شود. در مرحله نهایی برچسب‌هایی پیش‌بینی شده به گونه مؤثری تلفیق داده می‌شوند و به این طریق سیستم



شکل ۲: روند نمایی سیستم پیشنهادی.

می‌شود. در [۱۱] الگوریتم پیشنهادی FastTag به طور طبیعی می‌تواند شامل توصیف‌گرهای زیادی برای تصویر باشد و مشکلات پراکنده‌ی برچسب را با روشنی جدید حل کند. در این الگوریتم، داده‌های آموزشی خود را (تصاویر با برچسب‌های جزئی) به عنوان داده چندگانه بدون برچسب شرح می‌دهد و دو طبقه‌بند برای پیش‌بینی برچسب‌ها آموزش داده می‌شود. یکی مجموعه برچسب کامل (ناشناخته) را از برچسب‌هایی که در طول مرحله آموزش در دسترس است می‌سازد و دیگری نگاشتی را از ویژگی‌های تصویر به مجموعه برچسب ساخته شده یاد می‌گیرد. همچنینتابع ضرر پیوسته محدودی ارائه شده که این دو طبقه‌بند را با هم ترکیب کند. در [۱۲] الگوریتمی با دو مرحله ارائه شده است. در مرحله اول، مدلی برای ایجاد فضایی جدید عوامل پنهان ساخته می‌شود. برای این منظور بعد از استخراج ویژگی، دو ماتریس داده ایجاد می‌شود (یکی از ویژگی‌های بصیری و دیگری از اطلاعات برچسب‌ها). سپس الگوریتم NMF چندمنظوره^۵ با رویکرد مشترک بر روی این ماتریس‌ها اجرا می‌شود. بعد از آن فضای جدید عوامل پنهان با این ماتریس‌های پنهان ایجاد می‌گردد و تصاویر به این فضا نگاشت داده می‌شوند. در مرحله دوم یک روش مبتنی بر جستجو با استفاده از الگوریتم KNN وزن دار روی این فضای جدید اجرا می‌شود و برخی برچسب‌های تصاویر آزمون بر پایه نتایج این مرحله پیش‌بینی می‌شود. هدف اصلی در [۱۳]^۶ پیش‌بینی برخی برچسب‌هایی مربوط به تصاویر برای کمک به بازیابی معنایی^۷ است. بعد از استخراج ویژگی‌های بصیری چندگانه، ماتریس داده (نمایش^۸) برای هر نوع ویژگی ساخته می‌شود به این صورت که بردار ویژگی هر تصویر مجموعه داده در یک ستون جدا گذاشته می‌شود. بنابراین ماتریس‌های داده چندگانه‌ای داریم که هر یک تصویر را مبتنی بر ویژگی منحصر به فردی توصیف می‌کنند. علاوه بر این، ماتریس دیگری بر پایه برچسب‌های واقعی ساخته می‌شود که به آن نمایش برچسب^۹ گفته می‌شود. سپس همه

1. Multimodal
2. Semantic Retrieval
3. View
4. Tag View

تخمین خوبی از (۴) با روش‌های نرم فربنیوس^۳، واگرایی کولبک-لیر^۴ و واگرایی برگمن^۵ انجام شده است. در اینجا نرم فربنیوس مطرح می‌شود.

عوامل W و H با حل مسأله بهینه‌سازی زیر پیدا می‌شوند

$$\min_{W \geq, H \geq} f(W, H) = \frac{1}{2} \|A - WH\|_F^2 \quad (5)$$

مشکل (۵) این است که یک مسأله بهینه‌سازی نامحدب می‌باشد و این نشان می‌دهد که حل NMF ناممکن^۶ است و در عمل باید در جستجوی کمینه محلی باشیم. الگوریتم‌های زیادی برای حل (۵) تا کنون طراحی شده‌اند. اخیراً چندین الگوریتم مبتنی بر چارچوب حداقل مربعات نامنفی متناوب (ANLS) با کارایی خوبی ارائه شده است. الگوریتمی که هر ستون W و H را در هر تکرار به روزرسانی می‌کند و همچنین حداقل مربعات متناوب سلسه‌مراتبی^۷ (HALS) اخیراً ارائه شده است. الگوریتم سریع و جدیدی برای NMF با استفاده از روش چرخش بلاک اصلی در چارچوب ANLS ارائه شده است. الگوریتم‌های قبلی NMF با چارچوب ANLS از روش‌های مجموعه فعال^۸، projected gradient و projected quasi-Newton استفاده کردند. هدف استفاده از روش NMF برای سیستم‌های شرح‌نگاری تصویر، تعیین اثر عوامل پنهان اساسی (به عنوان مثال ماتریس پایه W) در نمایش محتوای تصاویر در کل مجموعه داده و سپس وقوع این عوامل (به عنوان مثال ماتریس ضرایب H) در هر تصویر است.

۲-۲-۲ چارچوب ANLS برای NMF

ابتدا برای حل مسأله (۴) روش ANLS را مروء می‌کنیم. در چارچوب ANLS متغیرها با روشی ساده به دو گروه، تقسیم و این دو گروه به نوبه خود به روزرسانی می‌شوند. این روش به صورت زیر خلاصه می‌گردد:

(۱) ابتدا $H \in R^{m \times k}$ با عناصر نامنفی مقداردهی اولیه می‌شود.

(۲) تکرار حل مسأله زیر تا زمانی که شرط توقف برقرار شود

$$\min_{W \geq} \|H^T W^T - A^T\|_F^2 \quad (1-6)$$

در اینجا H ثابت در نظر گرفته می‌شود

$$\min_{W \geq} \|WH - A\|_F^2 \quad (2-6)$$

و در اینجا W ثابت در نظر گرفته می‌شود.

(۳) ستون‌های W با نرم ۲ نرمال‌سازی می‌شوند و سپس ضرایب سطرهای H بر اساس بردارهای پایه W مقداردهی می‌گردد. روش دیگر این است که ابتدا W و (۲-۶) مقداردهی شوند و سپس (۱-۶) تکرار گردد. نکته قابل توجه این است که هر زیرمسأله (۶) نمونه‌ای از مسأله حداقل مربعات نامنفی مقید^۹ (NNLS) است. اگرچه مسأله (۵) نامحدب بود اما زیرمسأله‌های (۶) محدب هستند که می‌توان برای هر کدام راه حل‌های بهینه‌ای یافت.

برای این که همگرایی هر الگوریتم NMF مبتنی بر چارچوب ANLS را بررسی کیم، پیداکردن راه حل‌های بهینه (۶) در هر تکرار مهم است. بر

4. Frobenius Norm

5. Kullback-Leibler Divergence

6. Bregman Divergence

7. NP-Hard

8. Hierarchical Alternating Least Squares

9. Active Set

10. Nonnegativity-Constrained Least Squares

شرح‌نگاری تصویر پیاده‌سازی می‌شود. در ادامه به تشریح هر کدام از مراحل الگوریتم پیشنهادی می‌پردازیم.

۱-۲ استخراج ویژگی‌های تصاویر

همان طور که گفته شد استخراج ویژگی‌های تصویر برای دو مجموعه داده آماده و واقعی با روش‌های^۱ SIFT و CNN انجام می‌شود. دلیل این انتخاب برای داده‌های آماده این است که باید شرایط مقایسه روش پیشنهادی با سایر روش‌ها یکسان باشد. در نتیجه از ویژگی‌های برای داده‌های آماده و از ویژگی‌های CNN که برای شرح‌نگاری مناسب‌ترند برای داده‌های واقعی استفاده گردیده است. در ادامه به توضیح مختصری از هر کدام می‌پردازیم.

SIFT ۱-۱-۲

SIFT به طور گسترده در بسیاری از برنامه‌های کاربردی مانند شناخت SIFT «ردگیری ویدئو و غیره استفاده شده است. مراحل اصلی SIFT عبارتند از ساخت هرم گوسی تصاویر، اختلاف تصاویر هرم گوسی (DoG) و همچنین شناسایی نقاط کلیدی (دارای بیشترین مقدار) با همسایه‌های $3 \times 3 \times 3$ در دامنه DoG. هر نقطه کلیدی از موقعیتش در مقیاس خاص و جهت معین تشکیل شده است. تطبیق نقطه کلیدی بر اساس توصیف‌گری انجام می‌شود که شامل هیستوگرام با ۱۶ جهت (۸ بعد برای هر کدام) است که این هیستوگرام از همسایه‌های 4×4 در اطراف نقطه کلیدی ایجاد می‌شود. بنابراین برای چنین توصیف‌گری یک بردar ویژگی ۱۲۸ تابی در نظر گرفته می‌شود [۱۴].

CNN ۲-۱-۲

شبکه‌های عصبی کاتولوشن تا حد بسیار زیادی شبیه شبکه‌های عصبی مصنوعی می‌باشند. این نوع شبکه‌ها متشکل از نورون‌هایی با وزن‌ها و بایاس‌های قابل یادگیری (تنظیم) هستند. هر نورون تعدادی ورودی دریافت کرده و سپس حاصل ضرب وزن‌ها در ورودی‌ها را محاسبه می‌کند و در انتهای با استفاده از یک تابع تبدیل (فعال‌سازی) غیر خطی نتیجه‌ای را ارائه می‌دهد. کل شبکه یک تابع امتیاز^{۱۰} مشتق‌پذیر^{۱۱} را ارائه می‌کند که در یک طرف آن پیکسل‌های خام تصویر ورودی و در طرف دیگر آن امتیازات مربوط به هر دسته قرار دارد.

۲-۲ کاهش بعد با تجزیه نامنفی ماتریس

همان طور که گفته شد برای حل مشکل شکاف معنایی در سیستم‌های شرح‌نگاری از روش NMF استفاده می‌شود. به این صورت که تصاویر را به فضای جدید برد و در این فضا شباهت بین تصاویر با استفاده از ضرایب ماتریس NMF محاسبه می‌شود. ایده اصلی، اتصال ویژگی‌های بصری و متنی به عنوان دو روش متفاوت برای پیداکردن فضایی جدید با بعد پایین است که بتواند تصاویر را بهتر تفسیر کند.

NMF ۱-۲-۲

NMF به صورت زیر نوشته می‌شود. ماتریس ورودی A با بعد $m \times n$ داده شده که همه عناصر آن نامنفی است. هدف، پیداکردن دو عامل $H \in R^{k \times n}$ و $W \in R^{m \times k}$ با عناصر نامنفی است

$$A \approx WH \quad (2)$$

1. Scale-Invariant Feature Transform

2. Score Function

3. Differentiable

جواب مسئله $\min_{x \geq 0} \|Cx - b\|_r^r$ با جواب مسئله (۱۰) یکسان است و بنابراین شرایط KKT به صورت زیر است

$$y = C^T C x - C^T b \quad (۱-۱۵)$$

$$x \geq 0 \quad (۲-۱۵)$$

$$y \geq 0 \quad (۳-۱۵)$$

$$x_i y_i = 0, \quad i = 1, \dots, q \quad (۴-۱۵)$$

اکنون مسئله آن است که چگونه عمل کنیم تا x و y را بیابیم که در این شرایط صدق کند. نکته‌ای که مطرح می‌شود این است که هر x و y را که در شرایط (۱۵) صدق کند جواب مسئله است و هر جواب مسئله در این شرایط صدق می‌کند. الگوریتم چرخش بلاک اصلی بر اساس کنترل شرط $x_i y_i = 0, i = 1, \dots, q$ است.

مجموعه $\{1, \dots, q\}$ را به دو زیرمجموعه F و G تقسیم می‌کنیم به شکلی که $F \cap G = \emptyset$ و $F \cup G = \{1, \dots, q\}$ باشد. x_F, x_G, y_F و y_G را زیرمجموعه‌هایی از متغیرهای متناظر با اندیس‌هایشان در نظر می‌گیریم. در ابتدا $x_G = 0$ و $y_F = 0$ می‌باشد و در نتیجه شرط $x_i y_i = 0$ برقرار است. اکنون بر اساس (۱-۱۵)، x_F و y_G را به دست می‌آوریم

$$\begin{bmatrix} y_F \\ y_G \end{bmatrix} = C^T C \begin{bmatrix} x_F \\ x_G \end{bmatrix} - C^T b \quad (۱۶)$$

فرض می‌کیم $M = C^T C$

$$\begin{bmatrix} y_F \\ y_G \end{bmatrix} = M \begin{bmatrix} x_F \\ x_G \end{bmatrix} - C^T b = \begin{bmatrix} M_{FF} & M_{FG} \\ M_{GF} & M_{GG} \end{bmatrix} \begin{bmatrix} x_F \\ x_G \end{bmatrix} - C^T b = \begin{bmatrix} M_{FF}x_F + M_{FG}x_G \\ M_{GF}x_F + M_{GG}x_G \end{bmatrix} - C^T b = \quad (۱۷)$$

$$\begin{bmatrix} M_{FF}x_F \\ M_{GF}x_F \end{bmatrix} - C^T b$$

در نهایت رابطه زیر به دست می‌آید

$$y_G = M_{GF}x_F - (C^T b)_G = C_G^T C_F x_F - C_G^T b \quad (۱-۱۸)$$

و از خود رابطه اصلی می‌نویسیم

$$x_F = \arg \min_{x_F} \|C_F x_F - b\|_r^r \quad (۲-۱۸)$$

که $x_G = 0$ و G اندیس‌هایی از x است که برای آن اندیس می‌باشد. $y_F = 0$ و F اندیس‌هایی از y است که برای آن اندیس $y_i = 0$ می‌باشد.

می‌دانیم که از بین x_i و y_i حداقل یکی باید صفر باشد. چون $x_G = 0$ است اگر عضو جدیدی به آن اضافه شود، مثل این است که آن را برابر صفر گذاشته‌ایم. به همین ترتیب برای y_F هم برقرار است.

در ابتدا باید (۲-۱۸) را حل کرد و سپس جواب را در (۱-۱۸) قرار داد. مجموعه اندیس‌هایی که امکان پذیر نیستند را به صورت زیر تعریف می‌کنیم

$$V = \{i \in F : x_i < 0\} \cup \{i \in G : y_i < 0\} \quad (۱۹)$$

سپس زیرمجموعه غیر تهی $\hat{V} \subset V$ را انتخاب کرده و F و G را به صورت زیر به روزرسانی می‌کنیم

اساس طراحی الگوریتم NMF مبتنی بر چارچوب ANLS، روش خاصی برای حل (۶) باید ارائه می‌شود. الگوریتم قدیمی برای مسئله NNLS روش مجموعه فعال است. محدودیت بزرگ روش مجموعه فعال این است که فقط یک متغیر بین مجموعه‌های فعال در هر تکرار تغییر می‌کند و این وقتی ناشناخته‌ها بزرگ باشند، باعث کندشدن الگوریتم می‌شود. برای حل محدودیت روش مجموعه فعال، روش چرخش بلاک اصلی معرفی شده است.

ابتدا کمی به عقب‌تر بر می‌گردیم. در زیرمسئله‌های (۶)، حل همزمان W و H کار بسیار مشکلی است و بنابراین بر اساس رویکرد^۱ عمل می‌کنیم. در BCD یک گروه از متغیرها را ثابت نگه داشته و بر اساس یک متغیر بهینه‌سازی را انجام می‌دهیم

$$\min_x f(x_1, x_2, \dots, x_i, x_{i+1}, \dots, x_m) \quad (۷)$$

که تبدیل می‌شود به

$$\min_{x_i} f(x_1, x_2, \dots, x_i, x_{i+1}, \dots, x_m) \quad (۸)$$

$$\min_{x_i} f(x_1^k, x_2^k, \dots, x_i^k, x_{i+1}^{k-1}, \dots, x_m^{k-1}) \quad (۹)$$

یک حالت خاص BCD، رویکرد حل مسایل NMF است. در (۶) مشکل این است که یک W نداریم و هر W چندین W دیگر تولید می‌کند. در هنگام مقداردهی اولیه W ، در هر مرتبه نتایج متفاوتی ایجاد می‌شود، برای حل این مشکل ستون‌های W را برابر واحد قرار می‌دهیم و به عبارت دیگر آن را نرمال می‌کنیم (یعنی جمع عنصرهای ستون W باید برابر صفر باشد). راه حلی که برای این مسئله بیان می‌شود روش چرخش بلاک اصلی است که در ادامه توضیح خواهیم داد.

۳-۲-۳ روش چرخش بلاک اصلی

این روش همانند روش مبتنی بر مجموعه فعال است ولی در هر تکرار بیش از یک متغیر بین مجموعه فعال و غیرفعال جایه‌جا می‌شود. یعنی در هر ستون W و H در هر تکرار، اگر بیش از یک متغیر قابل جایه‌جا بین دو مجموعه فعال و غیرفعال باشد این کار را انجام می‌دهد. این مسئله باعث کاهش زمان حل آن می‌شود.

ابتدا مسئله ساده‌تر زیر را در نظر می‌گیریم

$$\min_{x \geq 0} \|Cx - b\|_r^r \quad (۱۰)$$

که در اینجا $x \in \mathbb{R}^{q \times 1}$, $b \in \mathbb{R}^{p \times 1}$ و $C \in \mathbb{R}^{p \times q}$ است. مسئله‌های (۶) قابل تبدیل به تعداد زیادی مسئله به شکل بالا هستند.

برای حل مسئله، $\min_{x \geq 0} \|Cx - b\|_r^r$ را در نظر می‌گیریم وتابع لآخر را می‌نویسیم

$$\mathcal{L}(x, y) = \frac{1}{2} \|Cx - b\|_r^r + y^T (-x) \quad (۱۱)$$

حال شرایط KKT را برای این مسئله می‌نویسیم

$$\frac{\partial \mathcal{L}}{\partial x} = \frac{\partial}{\partial x} \left(\frac{1}{2} \|Cx - b\|_r^r + y^T (-x) \right) = . \quad (۱۲)$$

$$\frac{\partial \mathcal{L}}{\partial x} = \frac{1}{2} (2)(C^T C x - C^T b) - y = . \quad (۱۳)$$

$$y = C^T C x - C^T b \quad (۱۴)$$

ترکیب قانون تبادل کامل و قانون پشتیبان‌گیری روش چرخش بلاک اصلی برای مسأله NNLS با یک بردار سمت راست تک است که در الگوریتم ۱ خلاصه شده است. در این الگوریتم متغیر α به عنوان بافری است که تعداد دفعاتی که قانون تبادل کامل انجام می‌شود را می‌شمرد. وقتی $\alpha = 0$ باشد آن گاه قانون پشتیبان‌گیری اجرا می‌شود. حال اگر مسأله زیر را در نظر بگیریم

$$\min_{x \geq 0} \|Cx - b\|_F^2 \quad (23)$$

که در اینجا $B \in \mathbb{R}^{p \times r}$, $C \in \mathbb{R}^{r \times q}$ و $X \in \mathbb{R}^{q \times r}$ است. الگوریتم ۲ به سادگی برای هر بردار سمت راست $B = [b_1, \dots, b_r]$ اجرا می‌کنیم

$$\min_{x \geq 0} \left\| \begin{bmatrix} C_F & C_G \end{bmatrix} \begin{bmatrix} x_F \\ x_G \end{bmatrix} - b \right\|_F^2 \quad (24)$$

اگر $x_G = 0$ آن گاه

$$\min_{x_F \geq 0} \|C_F x_F - b\|_F^2 \quad (25)$$

برای حل ابتدا مشتق می‌گیریم

$$\frac{\partial}{\partial x_F} (\|C_F x_F - b\|_F^2) = 0 \quad (26)$$

$$\begin{aligned} \frac{\partial}{\partial x_F} (C_F^T x_F - b)^T (C_F^T x_F - b) &= \\ \frac{\partial}{\partial x_F} (x_F^T C_F^T C_F x_F - x_F^T C_F^T b - b^T C_F x_F + b^T b) &= 0. \end{aligned} \quad (27)$$

$$C_F^T C_F x_F = C_F^T b \quad (28)$$

و (۲۸) را بازنویسی می‌کنیم

$$y_G = C_G^T C_F x_F - C_G^T b \quad (29)$$

الگوریتم ۲، الگوریتم پیشرفته‌تری از الگوریتم ۱ را نشان می‌دهد. یکی از مزایایی که الگوریتم ۲ نسبت به الگوریتم ۱ دارد این است که با توجه به مشکلات NNLS ناشی از NMF، ماتریس C به طور معمول بسیار طولانی و باریک و محاسبه $C^T C$ ، $C^T b$ و y_G بسیار هزینه‌بر است. به این منظور در الگوریتم ۲، $C^T C$ و $C^T b$ در ابتدا محاسبه و سپس آنها در تکرارهای بعدی دوباره استفاده می‌شوند. بنابراین چون اندازه ستون C کوچک است، حافظه مورد نیاز برای $C^T b$ و $C^T C$ کاهش می‌یابد و همچنین ماتریس X به طور معمول مسطح و وسیع است. در الگوریتم ۲ ایده مورد نظر این است که گروههایی از ستون‌هایی که مجموعه یکسان، F و G و $C^T C$ و $C^T b$ را حل می‌کند پیدا کنیم. با انجام این کار از انجام محاسبات تکراری جلوگیری می‌شود.

الگوریتم ۲ روش چرخش بلاک اصلی برای مسأله NNLS با بردارهای سمت راست چندگانه

ورودی: $B \in \mathbb{R}^{p \times r}$ و $C \in \mathbb{R}^{r \times q}$

خروجی: $X(\in \mathbb{R}^{q \times r}) = \arg \min_{x \geq 0} \|Cx - b\|_F^2$

(۱) محاسبه $C^T C$ و $C^T b$

(۲) مقداردهی اولیه

شکل ۳: به روز رسانی F و G .

$$F = (F - \hat{V}) \cup (\hat{V} \cap G) \quad (20)$$

$$G = (G - \hat{V}) \cup (\hat{V} \cap F) \quad (21)$$

در شکل ۳ مثالی برای به روز رسانی F و G داریم. x ها و y هایی که منفی هستند مقدارشان را صفر می‌کنیم و منفی‌های x را به G و منفی‌های y را به F می‌دهیم. نهایتاً الگوریتم چرخش بلاک اصلی به صورت زیر خلاصه می‌شود:

الگوریتم ۱) روش چرخش بلاک اصلی برای مسأله NNLS با یک بردار سمت راست تک

ورودی: $b \in \mathbb{R}^{p \times 1}$ و $C \in \mathbb{R}^{p \times q}$

خروجی: $x(\in \mathbb{R}^{q \times 1}) = \arg \min_{x \geq 0} \|Cx - b\|_F^2$
(۱) مقداردهی اولیه

$F = \emptyset$, $G = \{1, \dots, q\}$, $x = \cdot$, $y = -C^T b$, $\alpha = 3$, $\beta = q+1$
(۲) محاسبه x_F و y_G طبق (۱۸)

(۳) تا زمانی که $(x_F, y_G) \neq \cdot$ نشدنی است (x_F, y_G) گام‌های زیر را تکرار کن:
(۴) محاسبه V طبق (۱۹)

(۵) اگر $|V| < \beta$ آن گاه $\beta = V$

(۶) اگر $|V| \geq \beta$ و آن گاه $\alpha \geq 1$

(۷) اگر $|V| \geq \beta$ و $\alpha = 0$ آن گاه تنظیم \hat{V} با (۲۲)

(۸) به روز رسانی F و G با (۲۰) و (۲۱)

(۹) به روز رسانی x_F و y_G با (۱۸)

نیازمند است که \hat{V} نشان‌دهنده این است که چند متغیر در هر تکرار جایه‌جا می‌شود. اگر $|\hat{V}| > 1$ الگوریتم چرخش بلاک اصلی و اگر $|\hat{V}| = 1$ الگوریتم چرخش یکه اصلی^۱ نامیده می‌شود. به منظور سرعت‌بخشیدن به جستجو عموماً $\hat{V} = V$ را قرار می‌دهند که قانون تبادل کامل^۲ نام دارد. مشکل این روش این است که اگر همه V را در نظر بگیریم ممکن است داخل یک حلقه گیر کنیم، بنابراین به خاطر این که تکرار رخ ندهد از روشهای دیگر به نام قانون پشتیبان‌گیری^۳ استفاده می‌کنیم که از فرمول زیر به دست می‌آید

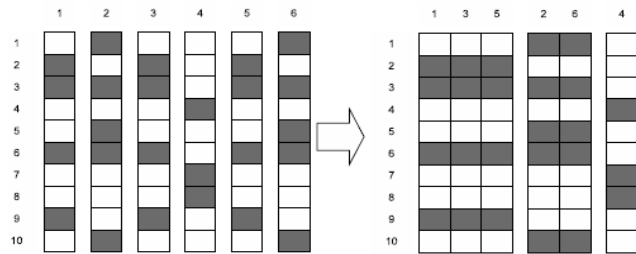
$$\hat{V} = \{i : i = \max\{j \in V\}\} \quad (22)$$

پس به خاطر این که تکرار رخ ندهد اول سراغ آنها می‌رویم که اندیس‌های بزرگ‌تری دارند.

1. Single Principal Pivoting

2. Full Exchange Rule

3. Backup Rule



شکل ۴: گروه‌بندی بردارهای سمت راست.

که d_i فاصله نزدیکترین همسایه i ام تا تصویر آزمون و eta تنظیم میزان پرتبودن داده‌ها است که در نهایت w_i وزن نزدیکترین همسایه در نظر گرفته می‌شود.

۳- ارزیابی سیستم پیشنهادی

در این بخش به بررسی کارایی سیستم پیشنهادی بر اساس دو معیار ارزیابی آماری، دقت^۱، صحت^۲ و پارامتر ترکیبی F_1 می‌پردازیم. دقت عبارت است از نسبت مقادیر مثبت حقیقی^۳ (TP) به کل نمونه‌هایی که توسط مدل به صورت مثبت پیش‌بینی شده که به صورت زیر تعریف می‌شود (نسبت تعداد برچسب‌هایی که سیستم بدستی تشخیص داده است به برچسب‌های پیش‌بینی شده توسط سیستم)

$$Precision = \frac{TP}{TP + FP} \times 100\% \quad (۳۲)$$

صحت عبارت است از نسبت مقادیر مثبت حقیقی (TP) به کل نمونه‌هایی که در پایگاه داده به صورت مثبت تعریف شده است. رابطه صحت به صورت زیر تعریف می‌شود (نسبت تعداد برچسب‌هایی که سیستم بدستی تشخیص داده است به برچسب‌های واقعی)

$$Recall = \frac{TP}{TP + FN} \times 100\% \quad (۳۳)$$

که به جای این دو معیار می‌توان از یک معیار ترکیبی برای ارزیابی کارایی بازیابی به نام F_1 استفاده نمود که دقت آشکارسازی و سطح عملکرد الگوریتم طراحی شده را نشان می‌دهد. این پارامتر مطابق رابطه زیر تعریف می‌شود

$$F = 2 \times \frac{Precision \times Recall}{Precision + Recall} \times 100\% \quad (۳۴)$$

در این روابط TP , FP و FN به ترتیب مثبت حقیقی، مثبت کاذب و منفی کاذب را نشان می‌دهند. سیستم مورد استفاده در کلیه آزمایش‌های Intel Core^۲ Duo ۲/۲۰ GHz با ۴ گیگابایت حافظه است. روش پیشنهادی در محیط برنامه نویسی Matlab پیاده‌سازی شده و نسخه مورد استفاده برای پیاده‌سازی Matlab ۸/۶ (R2016b) می‌باشد.

۱-۳ معرفی مجموعه داده‌های استفاده شده

برای ارزیابی سیستم پیشنهادی از دو مجموعه داده بهره بردهایم که دسته اول مجموعه داده آماده و در دسترس Corel5K است. زیرا این

1. Precision
2. Recall
3. True Positive
4. False Positive
5. False Negative

$$F_j = \emptyset, G_j = \{1, \dots, q\} \text{ for } j \in \{1, \dots, r\}, X = +, y = -C^T, \alpha \in \mathbb{R}^r = 3, \beta \in \mathbb{R}^r = q+1$$

(۳) محاسبه X_{G_j} و Y_{G_j} برای $j \in \{1, \dots, r\}$

(۴) طبق (۱۸) با استفاده از گروه‌بندی ستون‌ها

(۵) تا زمانی که (X_{F_j}, Y_{G_j}) نشدنی است \leftarrow

گام‌های زیر را تکرار کن:

(۶) پیداکردن ستون‌هایی که راه حل را نشدنی کند

$$I = \{j : (X_{F_j}, Y_{G_j}) \text{ is infeasible}\}$$

$$(۷) \text{ محاسبه } V_j \text{ برای } j \in I \text{ طبق (۱۹)}$$

$$(۸) \text{ برای همه } j \in I \text{ اگر } \beta_j < \alpha_j \text{ آن گاه } |V_j| = V_j$$

$$(۹) \text{ برای همه } j \in I \text{ اگر } \alpha_j \geq \beta_j \text{ آن گاه } |V_j| \geq \beta_j$$

$$(۱۰) \text{ برای همه } j \in I \text{ اگر } \alpha_j = \beta_j \text{ آن گاه تنظیم } V_j | \geq \beta_j$$

(۲۲) با

$$(۱۱) \text{ به روزرسانی } F_j \text{ و } G_j \text{ برای همه } j \in I \text{ با (۲۰) و (۲۱)}$$

$$(۱۲) \text{ به روزرسانی } X_{F_j} \text{ و } Y_{G_j} \text{ برای } j \in I \text{ با (۱۸) با استفاده از گروه‌بندی ستون‌ها}$$

در شکل ۴ مثالی را برای گروه‌بندی ستون‌ها می‌بینیم که $q = 10$ و $r = 6$ است. خانه‌های سیاه متغیرهای با اندیس F را نشان می‌دهد که با (۲۸) محاسبه می‌شود. با گروه‌بندی ستون‌هایی که مجموعه مشترک F دارند (مثلاً ستون‌های $\{1, 3, 5\}$, $\{2, 6\}$, $\{4\}$) می‌توانیم از محاسبات اضافی در حل (۲۸) جلوگیری کنیم. در عمل برای اجرای تکراری الگوریتم نیاز به یک معیار توقف است. برای NMF معیار می‌تواند این باشد که تابع هدف به کمینه محلی رسیده است یا نه.

۳-۲ طبقه‌بند KNN برای بازیابی و تلفیق برچسب‌ها

راه حل بصری برای تصمیم‌گیری در مورد چگونگی طبقه‌بندی یک داده آزمون بدون برچسب این است که به داده‌های آموزشی نزدیک به آن توجه کنیم. این روش به نام طبقه‌بندی k -نزدیکترین همسایه شناخته می‌شود. در روش پیشنهادی برای بازیابی و تلفیق برچسب‌ها از یک روش دو مرحله‌ای استفاده می‌کنیم که در هر مرحله از الگوریتم KNN استفاده می‌شود. در اولین مرحله ابتدا تصویر آزمون برای جستجوی نزدیکترین کلاس‌ها در مجموعه داده آموزش به الگوریتم KNN داده می‌شود، سپس در انتهای این مرحله خوش‌های نزدیک به تصویر آزمون را خواهیم داشت. باید توجه داشت که در مورد هر مجموعه داده این روش متفاوت است به این صورت که برای مجموعه داده Corel5K تصویر آزمون می‌تواند با تمام داده‌ها مقایسه شود ولی در داده‌های واقعی آن را با مراکز خوش‌های مقایسه می‌کنیم. در مرحله بعدی برای خوش‌هایی که از مرحله قبل انتخاب شدند، نزدیکترین تصاویر را پیدا می‌کنیم. این مرحله نیز با الگوریتم KNN انجام می‌شود. حال برچسب‌های تصاویر انتخاب شده را باید به روشنی تلفیق کنیم. برداری در این مرحله برای هر خوش‌های داشت می‌آید که این بردار نشان‌دهنده وزن برچسب‌های تصاویر نزدیک به تصویر آزمون است و نهایتاً با بردارهای به دست آمده از سایر خوش‌های ترکیب شده و برچسب‌هایی که بیشترین وزن را دارند به عنوان برچسب‌های تصویر در نظر گرفته می‌شوند. وزن دهی بر اساس الگوریتم KNN انجام می‌گردد. همان‌طور که در بالا خلاصه‌ای از این الگوریتم گفته شد، فاصله‌هایی به دست آمده را به روشن زیر وزن دهی می‌کنیم

$$w_i = \exp(-eta \times D_i) \quad (۳۰)$$

$$D_i = d_i - \min(d) \quad (۳۱)$$



شکل ۵: چند نمونه از تصاویر دادگان ۵۰۰ px و Corel5K به ترتیب در سمت راست و چپ.

الگوریتم زمانی حاصل می‌شود که بردارهای پایه برابر با 30° باشند. همچنین با بالارفتن تعداد بردارهای پایه، زمان اجرای الگوریتم NMF که در فاز آموزش انجام می‌شود افزایش می‌یابد. در داده‌های واقعی با افزایش تعداد بردارهای پایه کارایی الگوریتم بهتر می‌شود و زمانی بیشترین کارایی را دارد که مقادیر Recall و Precision به هم نزدیک باشند. در اولین مرحله از اجرای الگوریتم KNN برای به دست آوردن خوشه‌های مشابه، در کل مجموعه داده به دنبال تصاویر نزدیک می‌گردیم تا نزدیک‌ترین خوشه به تصویر مورد نظر را بیابیم. به همین منظور تعداد همسایه‌ها به تعداد کل داده‌های آموزش است که در پایگاه داده Corel5K بین ۱ تا ۴۵۰ می‌تواند متغیر باشد. طبق آزمایشی که انجام دادیم بیشترین مقدار کارایی در تعداد همسایه ۳۰۰ است. داده‌های واقعی حیوانات به ۴ دسته طبقه‌بندی شده‌اند (تمساح، خفاش، خرس و زنبور عسل) و بنابراین تصویر آزمون را با داده‌های این کلاس‌ها مقایسه می‌کنیم. به این صورت که مراکز خوشه این کلاس‌ها را در نظر گرفته و با الگوریتم KNN نزدیک‌ترین خوشه را می‌باییم. بنابراین بین ۱ تا ۴، تعداد همسایه‌هاست. در دومین مرحله از اجرای الگوریتم KNN در هر خوشه باید نزدیک‌ترین تصاویر را به تصویر آزمون پیدا کرد. چون تعداد داده‌های هر دسته در پایگاه داده Corel5K بین ۱ تا ۹۰ است، بنابراین بین ۱ تا ۹۰ متغیر KNN۲ را تغییر و این آزمایش را انجام دادیم. در مقدار ۲۰ بیشترین کارایی ملاحظه می‌شود. در داده‌های واقعی در هر دسته از این تصاویر تعداد ۱۵۰۰ تا ۳۰۰۰ تصویر وجود دارد و بنابراین تعداد همسایه‌ها را می‌توان بین این مقادیر قرار داد. با افزایش تعداد همسایه‌ها، کارایی الگوریتم بهتر شده است. پارامتر آخری که بررسی می‌کنیم تعداد برچسب‌ها است که در انتهای فاز آزمون مشخص می‌کنیم چه تعداد برچسب برای تصویر در نظر گرفته شود. در این آزمایش مشخص شده که با افزایش تعداد برچسب‌ها (با آزمایش روی هر دو پایگاه داده) کارایی الگوریتم در حال کاهش بوده و بهترین کارایی در تعداد ۵ برچسب است. نتایج این آزمایش‌ها در جداول ۱ و ۲ نشان داده شده است. همچنین در جداول ۳ و ۴ مثال‌هایی از شرح نگاری توسط روش پیشنهادی، برای تصاویر آزمون و تصاویر نویز پایگاه داده ۵۰۰ px نشان داده شده است.

۲-۲-۳ مقایسه روش پیشنهادی با روش‌های موجود

در این بخش به مقایسه روش پیشنهادی با سایر روش‌های موجود در سال‌های اخیر می‌پردازیم. همان طور که در جدول ۵ مشاهده می‌شود الگوریتم پیشنهادی، کارایی به مرتبه بتری روی پایگاه داده Corel5K دارد. همچنین برای داده‌های واقعی نیز کارایی این روش آزمایش شد و به نتایج خوبی دست یافتیم که نتایج حاصل را در جدول ۶ ملاحظه می‌کنید.

پایگاه داده به عنوان یک استاندارد در بسیاری از سیستم‌های شرح نگاری تصاویر به کار می‌رود و همچنین برای ارزیابی بهتر سیستم پیشنهادی از مجموعه داده‌های واقعی برگرفته از سایت px ۵۰۰ استفاده نموده‌ایم. در شکل ۵، چند نمونه از تصاویر دادگان ۵۰۰ px و Corel5K به ترتیب در سمت راست و چپ.

Corel5K: این مجموعه داده شامل ۵۰۰۰ عکس است که به صورت دستی با ۲۶۰ کلیدواژه تمایز برچسب‌گذاری شده‌اند. Corel5K به مجموعه‌های آموزش (۷۵٪) و آزمون (۲۵٪) تقسیم‌بندی می‌شود. مجموعه داده‌های آموزش و آزمون به ترتیب شامل ۴۹۹ و ۴۵۰ عکس است. تصاویر به طور دستی با متوسط $\frac{3}{4}$ برچسب از مجموعه ۲۶۰ هستند. تصاویر به طور دستی با متوسط $\frac{3}{4}$ برچسب گروهی نیز دارند که هر ۱۰۰ عکس دارای یک برچسب است، به عبارتی داده‌ها به ۵۰٪ دسته، طبقه‌بندی و ویژگی‌های این تصاویر با استفاده از روش SIFT استخراج شده‌اند.

داده‌های واقعی: داده‌های واقعی (برگرفته از سایت px ۵۰۰) استفاده شده در این الگوریتم مشکلاتی را به همراه دارد. اول این که این داده‌ها دارای حجم بالایی هستند و دیگری این است که مانند داده‌های در دسترس و آماده، برچسب‌گذاری نشده‌اند و این کار را خودمان به طور دستی باید انجام دهیم. همچنین ویژگی‌های این تصاویر را با استفاده از روش CNN استخراج کرده‌ایم. این مجموعه شامل ۴ دسته عکس است (تمساح، خفاش، خرس و زنبور عسل) و بنابراین برچسب گروهی آنها شامل ۱ تا ۴ است. در زمان برچسب‌گذاری تصاویر آموزشی، دقت می‌کنیم که برچسب‌های تکراری حذف شوند. در هر دسته از تصاویر این پایگاه داده بین ۱۵۰۰ تا ۳۰۰۰ تصویر موجود است.

۲-۳ نتایج و آزمایش‌ها

برای نشان دادن کارایی الگوریتم پیشنهادی و بررسی رفتار آن در شرایط مختلف تعدادی آزمایش طراحی می‌نماییم. این آزمایش‌ها شامل بررسی تأثیر پارامترهای مختلف و ارزیابی کمی روش پیشنهادی در مقایسه با الگوریتم‌های موجود می‌باشد. در ادامه به تشریح هر یک از این آزمایش‌ها می‌پردازیم.

۳-۱ تأثیر پارامترهای مختلف در روش پیشنهادی

الگوریتم پیشنهادی ۴ پارامتر مختلف دارد که در این آزمایش‌ها تأثیر مقدار این پارامترها را بیان می‌کنیم. همچنین این آزمایش‌ها را روی هر دو پایگاه داده بررسی خواهیم نمود. پارامتر اول تعداد بردارهای پایه الگوریتم NMF است (K-NMF). با انجام این آزمایش، بیشترین کارایی

جدول ۲: تأثیر پارامترهای مختلف بر روی بیشترین مقدار F1 و بیشترین مقدار صحت و دقต در پایگاه داده COREL5K.

	تعداد بردارهای پایه	F1	مقدار دقت	مقدار صحت
داده‌های CoreL5K	۳۰	۵۰	۵۰	۵۰
	۲۰ همسایه	F1	مقدار	مقدار صحت
داده کلاس‌های CoreL5K	۵۰ همسایه	۵۰	دقت	۵۰
	۳۰۰ همسایه	F1	مقدار	مقدار صحت
تعداد برچسبها	۵	۵۰	۵۰	۵۰

جدول ۱: تأثیر پارامترهای مختلف بر روی بیشترین مقدار F1 و بیشترین مقدار صحت و دقت در پایگاه داده ۵۰۰ PX.

داده‌های واقعی	تعداد تصاویر همسایه	F1	مقدار								
	۱۵۰۰	۶۰	۵۵	۵۵	۶۵	۴۵	۵۴	۴۵	۶۵	۶۵	۶۵

جدول ۳: مثال‌هایی از شرح‌نگاری روش پیشنهادی و دستی برای تصاویر آزمون پایگاه داده ۵۰۰ PX (برای ۴ دسته از حیوانات: خرس، خفاش، زنبور عسل و تماسح). برچسب‌های برجسته آنها هستند که مطابقت دارند و برچسب‌های غیر برجسته مطابقت ندارند.



alligator, bee, flower, water, garden, insect, macro, nature, summer, yellow
summer, everglades, libelle, alligator, white, crocodilian, light, lizard, natural, nature, reptile, studio, water



animal, animals, bat, black, flying, nature, night, white, wild, wildlife

شرح‌نگاری سیستم



bee, flower, flowers, garden, green, insect, macro, nature, summer, yellow
macro, nature, honey, flowers, sigma, summer, bee



animal, animals, bear, brown, mammal, nature, wild, wildlife
alaska, animal, animals, bear, brown, fish, grizzly, mammal, salmon, summer, water, white, wild, wildlife

شرح‌نگاری سیستم
شرح‌نگاری انسان



animal, animals, baseball, bat, black, flying, girl, nature, white, wildlife
beautiful, beauty, black, nature, black and white, girl, fashion, bat, batman, animal



animal, bat, black, dark, girl, nature, night, white, wildlife
dark, model, creative, fear, cover, fire, darkness, bat, photo-manipulation, animal, wildlife

شرح‌نگاری سیستم
شرح‌نگاری انسان

می‌گردد. الگوریتم در مرحله آموزش با روش BPP-NMF ماتریس ضرایب و ماتریس پایه را به دست می‌آورد و با استفاده از این ماتریس‌ها

جدول ۵: مقایسه روش پیشنهادی با سایر روش‌ها روی پایگاه داده COREL5K

Method	Precision	Recall	F1
NMF-KNN [۵]	۳۸	۵۶	۴۵٪
۲PKNN+ML [۱۶]	۴۴	۴۶	۴۵

۴- بحث و نتیجه‌گیری

در این مقاله روشی برای شرح‌نگاری خودکار تصویر با استفاده از الگوریتم تجزیه نامنفی ماتریس (NMF) ارائه شد. در روش پیشنهادی برای مدل‌سازی از روشی به نام چرخش بلاک اصلی (BPP) برای حل NMF استفاده شده که این روش در دو مرحله آموزش و آزمون انجام

- [9] A. Eweiwi, M. S. Cheema, and C. Bauckhage, "Discriminative joint non-negative matrix factorization for human action classification," in *Proc. German Conf. on Pattern Recognition, GPRC'13*, pp. 61-70, vol 8142. Springer, Berlin, 2013.
- [10] J. Liu, C. Wang , J. Gao, and J. Ha, "Multi-view clustering via joint nonnegative matrix factorization," in *Proc. of the SIAM Int.l Conf. on Data Mining, SIAM*, pp. 252-260, Austin, TX, USA, 2-4 May 2013.
- [11] M. Chen, A. Zheng, and K. Weinberger, "Fast image tagging," in *Proc. 30th Int. Conf. on Machine Learning*, 9 pp., Atlanta, GA, USA, Jan. 2013.
- [12] R. Rad and M. Jamzad, "Automatic image annotation by a loosely joint non-negative matrix factorization," *IET Computer Vision*, vol. 9, no. 6, pp. 806-813, Dec. 2015.
- [13] R. Rad and M. Jamzad, "Image annotation using multi-view non-negative matrix factorization with different number of basis vectors," *J. of Visual Communication and Image Representation*, vol. 46, pp. 1-12, Jul. 2017.
- [14] M. T. Chao and Y. S. Chen, "Keyboard recognition from scale-invariant feature transform," in *Proc. IEEE In. Conf. on Consumer Electronics-Taiwan, ICCE-TW'17*, pp. 205-206, Taipei, Taiwan,12-14 Jun. 2017.
- [15] P. Duygulu, K. Barnard, J. F. G. de Freitas, and D. A. Forsyth, "Object recognition as machine translation: learning a lexicon for a fixed image vocabulary," in *Proc. European Conf. on Computer Vision*, vol. 4, pp. 97-112, May 28-31 2002.
- [16] Y. Verma and C. Jawahar, "Image annotation using metric learning in semantic neighbourhoods," in *Proc. European Conf. on Computer Vision, ECCV'12*, vol. 3, pp. 836-849, Florence, Italy, 7-13 Oct. 2012.
- [17] S. Moran and V. Lavrenko, "A sparse kernel relevance model for automatic image annotation," *International J. of Multimedia Information Retrieval*, vol. 3, no. 4, pp. 209-229, Nov. 2014.
- [18] Y. Yang, W. Zhang, and Y. Xie, "Image automatic annotation via multi-view deep representation," *J. of Visual Communication and Image Representation*, vol. 53, pp. 368-377, Nov. 2015.
- [19] V. N. Murthy, E. F. Can, and R. Mamatha, "A hybrid model for automatic image annotation," in *Proc. of Int. Conf. on Multimedia Retrieval, ICMR'14*, pp. 369-376, Glasgow, United Kingdom, 1-4 Apr. 2014.
- [20] Z. Lu and Y. Peng, "Image annotation by semantic sparse recoding of visual content," in *Proc. of the 20th ACM Int. Conf. on Multimedia*, pp. 499-508, Nara, Japan, 29 Oct.-2-Nov. 2012.
- [21] Y. Xiang, X. Zhou, T. -S. Chua, and C. -W. Ngo, "A revisit of generative model for automatic image annotation using Markov random fields," in *Proc. IEEE Conf. on Computer Vision and Pattern Recognition, CVPR'09*, pp. 1153-1160, Miami, FL, USA, 20-25 Jun. 2009.
- [22] A. Makadia, V. Pavlovic, and S. Kumar, " A new baseline for image annotation," *Proc. IEEE Conf. on Computer Vision and Pattern Recognition, CVPR'08*, vol. 3, pp. 316-329, Marseille, France, 12-18 Oct. 2008.

حازم الرکابی در سال ۱۳۸۵ مدرک کارشناسی علوم کامپیوتر خود را از دانشگاه مستنصریه در بغداد. و در سال ۱۳۹۶ مدرک کارشناسی ارشد مهندسی کامپیوتر از دانشگاه فردوسی در مشهد دریافت نمود. از سال ۱۳۸۷ در وزارت آموزش و پرورش در عراق در شهر (جغف اشرف) مشغول به فعالیت گردید و اینک نیز عضو هیأت علمی این وزارت می‌باشد. زمینه‌های علمی مورد علاقه نامبرده متنوع بوده و شامل موضوعاتی مانند ایده‌های نو در عماری کامپیوتر، مدیریت شبکه‌های کامپیوتری، سیستم‌های توزیعی و رباتیک می‌باشد.

نسرین صوفی کارشناسی خود را در سال ۱۳۸۷ از دانشگاه پیام نور در رشته مهندسی کامپیوتر گرایش نرم افزار اخذ نمود و تحصیلات خود را در مقطع کارشناسی ارشد در رشته مهندسی کامپیوتر گرایش هوش مصنوعی از دانشگاه فردوسی مشهد در سال ۱۳۹۸ اخذ نمود. زمینه‌های تحقیقاتی مورد علاقه ایشان عبارتند از: شبکه‌های عصبی عمیق و فیلتر کالمن.

هادی صدوqi بزدی همکون استاد گروه مهندسی کامپیوتر در دانشگاه فردوسی مشهد می‌باشد. ایشان در سال ۱۳۷۳ مدرک کارشناسی مهندسی برق خود را از دانشگاه فردوسی مشهد و کارشناسی ارشد و دکتری مهندسی برق را به ترتیب در سال‌های ۱۳۷۵ و ۱۳۸۴ از دانشگاه تربیت مدرس دریافت نمود. زمینه‌های تحقیقاتی مورد علاقه ایشان عبارتند از: پردازش سیگنال و شناسایی الگو.

SKL-CRM [۱۷]	۴۹	۴۶	۴۲
MVSAE [۱۸]	۴۷	۴۷	۴۲
SVM-DMBRM [۱۹]	۴۶	۴۸	۴۱
YPKNN [۱۶]	۴۹	۴۰	۴۹,۵
LJNMF [۱۲]	۴۵	۴۳	۴۹,۱
FastTag [۱۱]	۴۲	۴۳	۴۶,۷
TagProb [۷]	۴۳	۴۲	۴۶,۹
SSRC [۲۰]	۴۱,۵	۴۷	۴۴,۱
MRFA [۲۱]	۴۱	۴۶	۴۳,۳
JEC [۲۲]	۴۷	۴۲	۴۹,۳
MvNMF-SK [۱۳]	۴۰,۳	۴۵,۸	۴۲,۹
MvNMF-DK [۱۳]	۴۴	۴۷,۵	۴۵,۶
BPP-NMF	۴۹,۸۸	۵۰,۰۳	۵۰,۲۰

جدول عنتایج اجرای روش پیشنهادی روی داده‌های واقعی حیوانات.

Method	Precision	Recall	F1
BPP-NMF	۴۶,۵۶	۷۰,۸۲	۶۲,۸۹

در مرحله آزمون، برای تصویر آزمون داده شده، برچسب‌ها را پیش‌بینی می‌کند. مرحله آزمون روش پیشنهادی شامل دو مرحله استفاده از الگوریتم k -نزدیکترین همسایه (KNN) برای بازیابی و تلفیق برچسب‌ها است. ابتدا KNN برای به دست آوردن کلاس‌های مشابه می‌شود. برای ارزیابی و آزمایش روش پیشنهادی از دو پایگاه داده Corel5K و داده‌های واقعی حیوانات استفاده شد و نهایتاً برای پایگاه داده Corel5K که با روش‌های موجود در سال‌های اخیر مقایسه گردید، به میزان دقت ۵۰,۲۰ رسیدیم که به طور قابل ملاحظه‌ای دقت الگوریتم افزایش یافته است و برای داده‌های واقعی نیز به دقت مناسب ۶۲,۸۹ دست یافتنیم.

مراجع

- J. Kim and H. Park, "Fast nonnegative matrix factorization: an active-set-like method and comparisons," *SIAM J. on Scientific Computing*, vol. 33, no. 6, pp. 3261-3281, 2011.
- C. F. Tsai and C. Hung, "Automatically annotating images with keywords: a review of image annotation systems," *Recent Patents on Computer Science*, vol. 1, no. 1, pp. 55-68, Jan. 2008.
- J. Li and J. Z. Wang, "Real-time computerized annotation of pictures," *IEEE Trans. on Pattern Analysis and Machine Intelligence*, vol. 30, no. 6, pp. 985-1002, Jun. 2008.
- D. Putthividhy, H. T. Attias, and S. S. Nagarajan, "Topic regression multi-modal latent Dirichlet allocation for image annotation," in *Proc IEEE Conf. on Computer Vision and Pattern Recognition, CVPR'10*, pp. 3408-3415, San Francisco, CA, USA, 13-18 Jun. 2010.
- M. M. Kalayeh, H. Idrees, and M. Shah, "NMF-KNN: image annotation using weighted multi-view non-negative matrix factorization," in *Proc. of the IEEE Conf. on Computer Vision and Pattern Recognition, CVPR'14*, pp. 184-191, Columbus, OH, USA, 23-28 Jun. 2014.
- Z. Li, et al., "Learning semantic concepts from image database with hybrid generative/discriminative approach," *Engineering Applications of Artificial Intelligence*, vol. 26, no. 9, pp. 2143-2152, Oct. 2013.
- M. Guillaumin, T. Mensink, J. Verbeek, and C. Schmid, "Tagprop: discriminative metric learning in nearest neighbor models for image auto-annotation," in *Proc. IEEE 12th Int. Conf. on Computer Vision*, pp. 309-316, Kyoto, Japan, 29 Sept.-2 Oct. 2009.
- D. D. Lee and H. S. Seung, "Learning the parts of objects by non-negative matrix factorization," *Nature*, vol. 401, no. 6755, pp. 788-791, 21 Oct. 1999.

امیر حسین طاهری نیا کارشناسی خود را در رشته مهندسی کامپیوتر در سال ۱۳۸۳ از دانشگاه فردوسی مشهد اخذ نمود و کارشناسی ارشد و دکتری خود را در رشته مهندسی کامپیوتر به ترتیب در سال‌های ۱۳۸۵ و ۱۳۹۱ از دانشگاه صنعتی شریف اخذ نمود. وی از سال ۱۳۹۲ استادیار دانشکده فنی و مهندسی دانشگاه فردوسی مشهد است. زمینه‌های تحقیقاتی مورد علاقه ایشان عبارتند از: امنیت چندرسانه‌ای، پنهان‌سازی اطلاعات، پردازش سیگنال چندرسانه‌ای.